



The comparison of Variety Amphibole and geothermobarometry Intrusive body of Astaneh (Sanandaj-Sirjan zone)

Z. Tahmasbi¹, M. Khalili¹, A. Ahmadi-khalaji², M. A. Makizadeh¹

1- Department of Geology, Faculty of Sciences, University of Isfahan, Isfahan, Iran

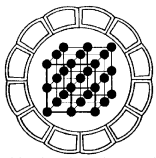
2- Department of Geology, Faculty of Sciences, University of Lorestan, Khorramabad, Iran

Email: Zahra_tak@yahoo.com

(Received: 18/6/2008, in revised form: 28/1/2009)

Abstract: The results of microprobe analysis indicate four different kinds of amphiboles in Astaneh pluton and its subvolcanic rocks in the Sanandaj-Sirjan zone. The composition of these amphiboles in this area are magnesio hornblende in tonalite and quartz dioritic enclaves, actinolite in granodiorite and monzogranite, pargasite in dacitic enclaves and anthophyllite in one tonalitic sample formed by replacement of orthopyroxene at the rim. All of the amphiboles crystallized at high fO_2 which imply I-type nature. Application of different barometers and thermometers show that pargasite in dacitic enclave formed at higher pressure and temperature (767°C , 6.6 Kbar) than the magnesio hornblende in quartz dioritic enclave (734°C , 2.8 Kbar) and magnesio hornblende in tonalites (708°C , 1.4 Kbar).

Keywords: Astaneh, Tonalite, Granodiorite, Sanandaj- Sirjan zone, Thermometry, Barometry.



مقایسه انواع آمفیبول‌ها و ژئوترموبارومتری توده نفوذی آستانه (زون سنندج- سیرجان)

زهرا طهماسبی^۱، محمود خلیلی^۲، احمد احمدی خلجی^۳، محمد علی مکی زاده^۴

۱- گروه معدن، دانشکده فنی و مهندسی، دانشگاه لرستان

۲- گروه زمین‌شناسی، دانشکده علوم، دانشگاه اصفهان

۳- گروه زمین‌شناسی، دانشکده علوم، دانشگاه لرستان

پست الکترونیکی: Zahra_tak@yahoo.com

(دریافت مقاله: ۸۷/۳/۲۹ ، نسخه نهایی: ۱۱/۹ / ۸۷)

چکیده: نتایج تجزیه ریزگمانه الکترونی (EPMA) انواع آمفیبول‌ها در توده گرانیتوئیدی آستانه و سنگ‌های نیمه آتشفسانی آن واقع در زون سنندج - سیرجان وجود چهار نوع آمفیبول را در این سنگ‌ها نشان می‌دهد. ترکیب آمفیبول‌ها از منیزیوهوربنبلند در تونالیت و برونبوم‌های کوارتردیوریتی، اکتینولیت در گرانودیوریت و مونزوگرانیت، پارگازیت در برونبوم‌های داسیتی و آنتوفیلیت حاصل از تجزیه اورتوبیروکسن در یک نمونه تونالیتی متغیر است. همه این آمفیبول‌ها در فوگاسیتۀ بالای اکسیژن تشکیل می‌شوند که نشانه سری مگنتیتی ایشیهارا و I بودن نوع این گرانیت‌هاست. روش‌های متفاوت محاسبه فشار و دمای تشکیل آمفیبول‌ها نشان می‌دهد که پارگازیت برونبوم‌های داسیتی در گستره فشار و دمای‌های بالاتر (۶/۶ Kbar و ۷۶۷ °C) نسبت به منیزیوهوربنبلند در برونبوم کوارتردیوریتی (۲/۸ Kbar و ۷۳۴ °C) و منیزیوهوربنبلند در تونالیت‌های منطقه (۱/۴ Kbar و ۷۰۸ °C) تشکیل شده است.

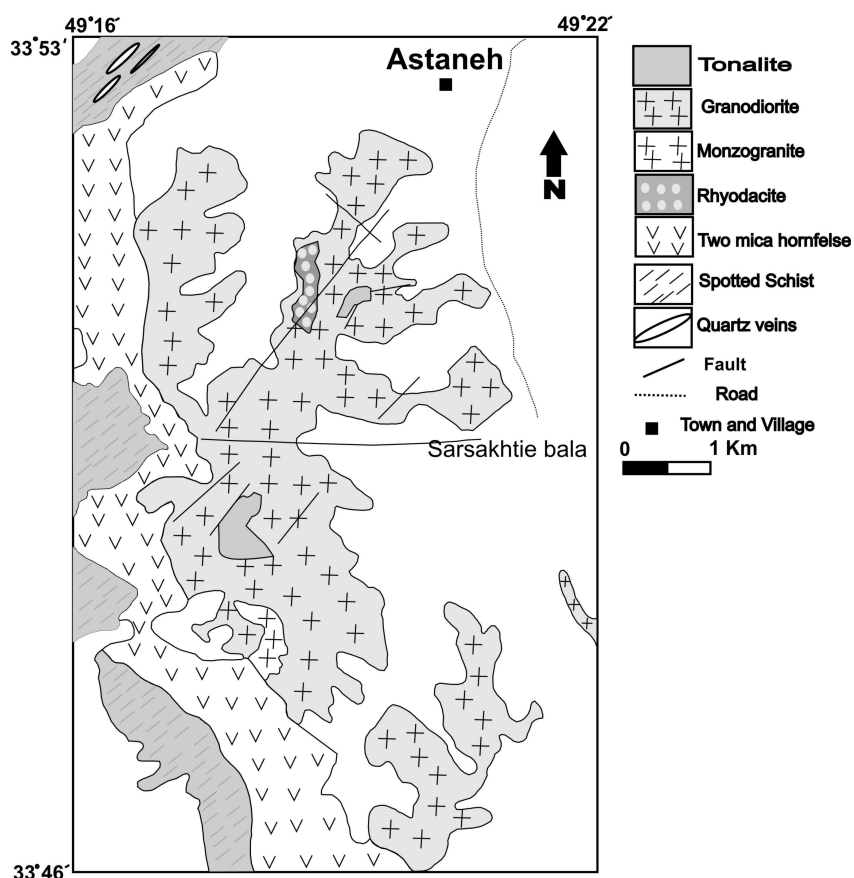
واژه‌های کلیدی: آستانه، تونالیت، گرانودیوریت، تجزیه نقطه‌ای، زون سنندج- سیرجان، دماسنجی، فشارسنجی.

گرانیتوئیدی ناحیه آستانه - گوشه مورد بررسی قرار داده است [۲]. همچنین مسعودی در سال ۱۹۹۷ در رساله دکتری خود مسئله دگرگونی مجاورتی و ایجاد پگماتیت‌های منطقه را مورد بررسی قرار داده است [۳]. این مقاله اولین نتایج ریز پردازش بر روی انواع آمفیبول‌ها در سنگ‌های آذرین منطقه است که در اسپانیا شهر هلووا^۱ توسط نگارنده اول طی فرصت مطالعاتی انجام گرفته است. در این مقاله سعی شده است تا با توجه به نتایج بررسی‌های صحرایی، سنگ‌شناسی و نتایج ریز پردازی به بررسی ارتباط بین بخش‌های مختلف توده و شرایط جایگرینی توده (دما و فشار) پرداخته شود.

۱- مقدمه

منطقه مورد بررسی به عرض‌های جغرافیایی ۴۵° تا ۳۳° ۵۵' شمالي و طول جغرافیایي ۱۵° ۴۹' تا ۲۵° ۴۹' خاوری محدود شده است. این منطقه از سنگ‌های دگرگون تشکیل یافته و در آن توده گرانیتوئیدی آستانه به طول ۱۰ کیلومتر و پهنه‌ای ۳ کیلومتر رخنمون دارد (شکل ۱).

اولین بررسی‌های سیستماتیک و کامل در این منطقه در سال ۱۹۷۴ توسط برته و همکاران در قالب رساله دکتری تحت عنوان چینه‌شناسی، سنگ‌شناسی و زمین‌ساختی چهارگوش خرم‌آباد انجام گرفته است [۱] و رادر در سال ۱۳۶۶ این منطقه را در قالب پایان‌نامه کارشناسی ارشد تحت عنوان بررسی‌های زمین‌شناسی و سنگ‌شناسی سنگ‌های



شکل ۱ نقشه ساده شده‌ای از زمین‌شناسی منطقه مورد بررسی.

سنگ‌های نیمه آتشفسانی ریوداسیتی، مجموعه کانی‌های متخلک از کرندوم، اسپینل و آنورتیت (بر اساس بررسی‌های انجام شده روی این سنگ‌ها) دیده می‌شود که حاکی از وجود رخساره‌ای با دما و فشار بالاتر در حاشیه این سنگ‌هاست.

۳- روش بررسی

بررسی‌های صحرایی و نمونه برداری از واحدهای مختلف سنگ‌شناسی توده نفوذی آستانه در طول سال‌های ۱۳۸۴ تا ۱۳۸۶ انجام شده است. پس از تهیه مقاطع نازک و بررسی دقیق سنگ‌شناسی از سنگ‌های توده نفوذی، سنگ‌های نیمه عمیق و برون‌بوم‌های آن‌ها، تعداد ۱۲ مقطع نازک انتخاب شدند. این مقاطع برای تجزیه نقطه‌ای با پودر الماس^۶ و یک میکرون صیقل داده شدند و سپس در این نمونه‌ها ۶۷ نقطه از کانی‌های آمفیبیول و پلازیوکلаз با دستگاه ابر ریز پردازنده JXA-8200 در شهر هلوای اسپانیا مورد بررسی قرار

۴- زمین‌شناسی عمومی
منطقه مورد بررسی در بخش شمال باختری نوار سندج - سیرجان و در باختر و جنوب باختری شهرستان اراک قرار گرفته است. قدیمی‌ترین نهشته‌های موجود در این منطقه به تریاس وابسته بوده که در جنوب منطقه رخمنون دارند و شامل سنگ‌های آتشفسان دگرگون با درون لایه‌هایی از مرمرهای نازک تا ضخیم لایه‌اند و جدیدترین نهشته‌های آن، آبرفت‌های عهد حاضر است. مهمترین رویداد زمین‌شناسی که در پی آن توده گرانیتوئیدی آستانه شکل گرفته است، در زمان مژوزوئیک (ژوراسیک میانی) رخ داد است [۴]. با نفوذ توده گرانیتوئیدی در فیلیت‌های منطقه، مجموعه‌ای دگرگون مجاورتی (هورنفلس‌ها) حاصل شده است. مجموعه کانی‌های واقع در این سنگ‌ها شامل مسکوویت، بیوتیت، آلبیت، کلریت و اپیدوت است که همزیستی این مجموعه نشان می‌دهد رخساره دگرگون پیرامون توده نفوذی آستانه از نوع رخساره آلبیت- اپیدوت هورنفلس است. نکته قابل توجه اینکه در حاشیه

آلومینیم، انسنتاتیت برای منیزیم، فایالیت برای آهن و منگنز و آپاتیت برای فسفر بکار رفته‌اند. جدایش مقدادیر Fe^{3+} و Fe^{2+} در فرمول ساختاری آمفیبول با استفاده از روش پیشنهادی لیک [۵] انجام شده است.

گرفتند. از هر یم از آمفیبول‌ها و پلاژیوکلازها نمونه‌هایی به عنوان معرف در جدول‌های ۱ و ۲ ارائه شده‌اند. ولتاژ شتاب دهنده دستگاه در طول کار ۱۵ کیلوولت و شدت جریان ۵ نانوآمپر بوده است. استانداردهای سیلیکاتی ژاکتیت برای سدیم، ولاستونیت برای کلسیم، پتاسیم فلدسپار برای پتاسیم و

جدول ۱ خلاصه داده‌های حاصل از تجزیه نقطه‌ای کانی آمفیبول در واحدهای مختلف سنگی که تنها تجزیه‌های معرف (از هر نمونه دو نقطه) ارائه شده است.

	آنتوفیلیت		پارگازیت در انکلاو داسیتی		اکتینولیت در گرانوویدوریت		منیزیو هورنبلند در توالتیت		منیزیو هورنبلند انکلاو توالتیتی	
SiO₂	۵۳/۹۵	۵۴/۲۶	۴۲/۳۱	۴۳/۴۲	۵۱/۱۹	۵۱/۷۴	۴۹/۷۶	۴۹/۵۳	۴۷/۷۴	۴۷/۷۶
TiO₂	۰/۱۰	۰/۰۶	۳/۲۷	۲/۶۷	۰/۲۰	۰/۲۲	۰/۵۲	۰/۵۹	۱/۳۲	۱/۳۷
Al₂O₃	۰/۶۵	۰/۶۷	۱۱/۸۳	۱۱/۰۲	۳/۹۷	۳/۸۳	۴/۵۶	۴/۵۵	۶/۸۳	۶/۵۹
FeO*	۲۳/۴۷	۲۲/۷۲	۱۰/۳۶	۱۱/۷۷	۱۲/۴۹	۱۲/۶۵	۱۴/۳۱	۱۴/۴۴	۱۵/۲۱	۱۵/۶۴
MgO	۱۷/۱۵	۱۸/۰۴	۱۵/۲۷	۱۴/۳۵	۱۶/۰۳	۱۵/۷۲	۱۴/۳۶	۱۴/۷۴	۱۲/۳۱	۱۲/۲۸
MnO	۰/۷۰	۰/۶۱	۰/۱۴	۰/۲۲	۰/۲۹	۰/۳۴	۰/۲۷	۰/۲۴	۰/۲۸	۰/۲۹
CaO	۰/۹۰	۰/۵۴	۱۱/۳۳	۱۱/۰۱	۱۱/۰۵	۱۱/۱۷	۱۱/۱۸	۱۰/۹۶	۱۱/۰۸	۱۱/۱۰
Na₂O	۰/۰۶	۰/۰۴	۲/۴۰	۲/۴۱	۰/۵۸	۰/۵۴	۰/۶۴	۰/۶۵	۰/۶۱	۰/۶۰
K₂O	۰/۰۰	۰/۰۱	۰/۶۴	۰/۴۹	۰/۳۴	۰/۲۶	۰/۳۸	۰/۳۵	۰/۴۸	۰/۵۰
Sum	۹۷/۰۹	۹۷/۰۵	۹۸/۴۲	۹۷/۷۶	۹۶/۷۰	۹۶/۷۱	۹۶/۱۴	۹۶/۲۶	۹۶/۰۱	۹۶/۲۱
T-sites										
Si	۷/۹۵	۷/۹۶	۶/۲۰	۶/۳۹	۷/۵۰	۷/۵۵	۷/۳۹	۷/۳۶	۷/۱۵	۷/۱۵
Aliv	۰/۰۵	۰/۰۴	۱/۸۰	۱/۶۱	۰/۵۰	۰/۴۵	۰/۶۱	۰/۶۴	۰/۸۵	۰/۸۵
Al(total)	۰/۱۱	۰/۱۲	۲/۰۵	۱/۹۱	۰/۶۹	۰/۶۶	۰/۸۰	۰/۸۰	۱/۲۱	۱/۱۶
M1,2,3 sites										
Alvi	۰/۰۷	۰/۰۷	۰/۲۵	۰/۳۱	۰/۱۹	۰/۲۱	۰/۱۹	۰/۱۵	۰/۳۵	۰/۳۱
Ti	۰/۰۱	۰/۰۱	۰/۳۶	۰/۳۰	۰/۰۲	۰/۰۲	۰/۰۶	۰/۰۷	۰/۱۵	۰/۱۵
Fe³⁺	۰/۰۰	۰/۰۰	۰/۰۰	۰/۰۰	۰/۰۰	۰/۰۰	۰/۰۰	۰/۰۰	۰/۰۰	۰/۰۰
Mg	۳/۷۷	۳/۹۴	۳/۳۴	۳/۱۵	۳/۵۰	۳/۴۲	۳/۱۸	۳/۲۶	۲/۷۵	۲/۷۴
Mn	۰/۰۹	۰/۰۸	۰/۰۲	۰/۰۳	۰/۰۴	۰/۰۴	۰/۰۳	۰/۰۳	۰/۰۴	۰/۰۴
Fe²⁺	۱/۰۷	۱/۰۰	۱/۰۴	۱/۲۲	۱/۲۵	۱/۳۰	۱/۵۴	۱/۴۹	۱/۷۱	۱/۷۶
Ca	۰/۰۰	۰/۰۰	۰/۰۰	۰/۰۰	۰/۰۰	۰/۰۰	۰/۰۰	۰/۰۰	۰/۰۰	۰/۰۰
	۵/۰۰	۵/۰۰	۵/۰۰	۵/۰۰	۵/۰۰	۵/۰۰	۵/۰۰	۵/۰۰	۵/۰۰	۵/۰۰
M4 site										
Fe	۱/۸۳	۱/۸۹	۰/۲۳	۰/۲۳	۰/۲۸	۰/۲۴	۰/۲۴	۰/۳۱	۰/۱۹	۰/۲۰
Ca	۰/۱۴	۰/۰۸	۱/۷۷	۱/۷۴	۱/۷۲	۱/۷۵	۱/۷۶	۱/۶۹	۱/۷۸	۱/۷۸
Na	۰/۰۳	۰/۰۳	۰/۰۰	۰/۰۴	۰/۰۰	۰/۰۱	۰/۰۰	۰/۰۰	۰/۰۳	۰/۰۲
	۲/۰۰	۲/۰۰	۲/۰۰	۲/۰۰	۲/۰۰	۲/۰۰	۲/۰۰	۲/۰۰	۲/۰۰	۲/۰۰
A site										
Ca	۰/۰۰	۰/۰۰	۰/۰۱	۰/۰۰	۰/۰۲	۰/۰۰	۰/۰۲	۰/۰۵	۰/۰۰	۰/۰۰
Na	-۰/۰۱	-۰/۰۲	۰/۶۸	۰/۶۵	۰/۱۶	۰/۱۴	۰/۱۸	۰/۱۹	۰/۱۴	۰/۱۵
K	۰/۰۰	۰/۰۰	۰/۱۲	۰/۰۹	۰/۰۶	۰/۰۵	۰/۰۷	۰/۰۷	۰/۰۹	۰/۱۰
Sum A	-۰/۰۱	-۰/۰۲	۰/۸۱	۰/۷۵	۰/۲۴	۰/۱۹	۰/۲۸	۰/۳۱	۰/۲۳	۰/۲۵
Mg/(Mg+Fe²⁺)	۰/۷۸	۰/۸۰	۰/۷۶	۰/۷۲	۰/۷۴	۰/۷۲	۰/۶۷	۰/۶۹	۰/۶۲	۰/۶۱
Fe/Fe+Mg	۰/۴۳	۰/۴۲	۰/۲۸	۰/۳۲	۰/۳۰	۰/۳۱	۰/۳۳	۰/۳۱	۰/۴۱	۰/۴۲

جدول ۲ تجزیه ریزپردازشی پلازیوکلاز در تعادل با آمفیبول منیزیوهومنبلند در تونالیت، برونبوم کوارتزدیوریتی و پلازیوکلاز در تعادل با پارگازیت در برونبوم داسیتی.

	پلازیوکلاز در برونبوم کوارتزدیوریتی				پلازیوکلاز در تونالیت			برونبوم		پلازیوکلاز در ۶۱/۶۰	
SiO₂	۵۶/۷۷	۵۳/۳۱	۵۲/۴۷	۵۲/۳۰	۵۸/۲۷	۵۷/۶۲	۵۸/۰۷	۶۱/۵۸	۶۱/۶۰		
TiO₂	.۰/۰۱	.۰/۰۰	.۰/۰۱	.۰/۰۳	.۰/۰۰	.۰/۰۰	.۰/۰۳	.۰/۰۰	.۰/۰۶		
Al₂O₃	۲۷/۰۶	۲۸/۷۰	۲۹/۴۶	۲۹/۵۷	۲۵/۹۷	۲۶/۳۲	۲۵/۹۱	۲۲/۵۵	۲۲/۸۱		
Cr₂O₃	.۰/۰۱	.۰/۰۰	.۰/۰۰	.۰/۰۰	.۰/۰۲	.۰/۰۲	.۰/۰۰	.۰/۱۴	.۰/۰۰		
FeO	.۰/۱۲	.۰/۰۴	.۰/۰۵	.۰/۱۸	.۰/۱۶	.۰/۲۰	.۰/۲۶	.۰/۱۶	.۰/۱۶		
MnO	.۰/۰۰	.۰/۰۰	.۰/۰۱	.۰/۰۱	.۰/۰۲	.۰/۰۲	.۰/۰۲	.۰/۰۰	.۰/۰۰		
MgO	.۰/۰۲	.۰/۰۲	.۰/۰۱	.۰/۰۰	.۰/۰۰	.۰/۰۱	.۰/۰۲	.۰/۰۰	.۰/۰۲		
CaO	۸/۶۰	۱۱/۱۰	۱۱/۸۵	۱۲/۳۲	۸/۰۱	۸/۵۲	۷/۷۹	۴/۵۴	۴/۶۹		
Na₂O	۶/۵۹	۵/۳۳	۴/۶۱	۴/۶۷	۷/۰۶	۶/۶۵	۶/۸۵	۹/۲۵	۹/۰۶		
K₂O	.۰/۲۸	.۰/۰۶	.۰/۰۶	.۰/۰۴	.۰/۱۲	.۰/۰۷	.۰/۱۰	.۰/۱۷	.۰/۱۸		
NiO	.۰/۰۰	.۰/۰۰	.۰/۰۲	.۰/۰۲	.۰/۰۰	.۰/۰۲	.۰/۰۲	.۰/۰۳	.۰/۰۱		
TOTAL	۹۹/۵۶	۹۸/۶۱	۹۸/۶۵	۹۹/۲۵	۹۹/۷۱	۹۹/۴۳	۹۹/۴۳	۹۹/۵۳	۹۹/۶۳		
کاتیون ها بر اساس ۱۸ کسیشن محاسبه شده است.											
Si	۲/۵۶	۲/۴۴	۲/۴۱	۲/۲۹	۲/۶۲	۲/۶۰	۲/۶۲	۲/۷۵	۲/۷۵		
Al	۱/۴۴	۱/۵۵	۱/۵۹	۱/۵۹	۱/۳۸	۱/۴۰	۱/۳۸	۱/۲۴	۱/۲۵		
Fe++	.۰/۰۰	.۰/۰۰	.۰/۰۰	.۰/۰۱	.۰/۰۱	.۰/۰۱	.۰/۰۱	.۰/۰۱	.۰/۰۱		
Ca	.۰/۴۲	.۰/۵۴	.۰/۵۸	.۰/۶۰	.۰/۳۹	.۰/۴۱	.۰/۳۸	.۰/۲۲	.۰/۲۲		
Na	.۰/۵۸	.۰/۴۷	.۰/۴۱	.۰/۴۱	.۰/۶۱	.۰/۵۸	.۰/۶۰	.۰/۸۰	.۰/۷۸		
K	.۰/۰۲	.۰/۰۰	.۰/۰۰	.۰/۰۰	.۰/۰۱	.۰/۰۰	.۰/۰۱	.۰/۰۱	.۰/۰۱		
Xab	.۰/۵۷	.۰/۴۶	.۰/۴۱	.۰/۴۱	.۰/۶۱	.۰/۵۸	.۰/۶۱	.۰/۷۸	.۰/۷۷		
XAn	.۰/۴۱	.۰/۵۳	.۰/۵۹	.۰/۵۹	.۰/۳۸	.۰/۴۱	.۰/۳۸	.۰/۲۱	.۰/۲۲		

پتاسیم فلدسپار و آمفیبول دارند، و کانی‌های فرعی شامل آپاتیت، زیرکن و آلانیت هستند. در بخش‌های حاشیه‌ای، این سنگ‌ها حاوی آندالوزیت‌اند. فراوانی بلورهای آندالوزیت در بخش‌های مختلف متفاوت است و سمت یافته‌گی خاصی را نشان نمی‌دهند. این واحد سنگی در بخش‌های جنوبی مونزوگرانیتی شده و کانی‌های اصلی تشکیل‌دهنده آن شامل بیوتیت، پلازیوکلاز، کوارتز و پتاسیم فلدسپار است و در نمونه دستی روشن‌تر است، با این حال مرز مشخصی نداشته و قابل جدایش نیستند (شکل ۱).

۲-۴ واحد تونالیت

این سنگ‌ها در درون واحد گرانوودیوریت بروزد دارند (شکل ۱) و ارتفاعات منطقه را تشکیل داده‌اند و خاکستری رنگ و از نظر درجه رنگین مزوکرات تنند. ترکیب سنگ‌شناختی آن از تونالیت

۴- سنگ‌شناختی توده

بخش اعظم توده گرانویتی‌یدی آستانه، ترکیب گرانوودیوریتی دارد و به صورت یک توده نفوذی چند شاخه‌ای و کوچک نمایان می‌شود (شکل ۱). درون این توده، سنگ‌های نیمه آتشفشارانی ریوداسیتی به صورت زائد همراه با توده‌های نفوذی کوچکی با ترکیبی بیشتر به صورت مونزوگرانیتی و تونالیتی ظاهر می‌شوند. در اینجا به اختصار این تنوع سنگی را معرفی می‌کنیم.

۴- واحد گرانوودیوریت

این واحد بخش بزرگ توده نفوذی موجود در منطقه را تشکیل می‌دهد که به شدت هوازده و فرسوده بوده و ریخت شناختی کلی آن به صورت تپه‌های فرسوده کم ارتفاع است. ترکیب سنگ‌های این واحد از گرانوودیوریت تا تونالیت متغیر است. این سنگ‌ها در نمونه دستی غالباً به رنگ خاکستری دیده می‌شوند و ترکیب همگنی از کانی‌های کوارتز، پلازیوکلاز، بیوتیت،

ریز پردازشی آمفیبیول در واحدهای سنگی مختلف منطقه (تجزیه‌های معرف) در جدول‌های ۱ و ۲ نشان داده شده‌اند. آمفیبیول‌های موجود در سنگ‌های منطقه مورد بررسی در دو گروه آمفیبیول‌های Fe-Mg-Mn و آمفیبیول‌های کلسیک قرار می‌گیرند [۷]. آمفیبیول حاصل از تجزیه حاشیه اورتوبیروکسن استاتیتی از نوع Fe-Mg-Mn یعنی آنتوفیلیت (ثانویه) (شکل ۲ الف و ت) است در صورتی که آمفیبیول تونالیت‌ها و برونبوم‌های کوارتزدیوریتی از نوع کلسیک (منیزیوهرنبلنده و اولیه) (شکل ۲ ج و ح) است. همچنین آمفیبیول گرانودیوریت‌ها از نوع اکتینولیت (ثانویه) و آمفیبیول برونبوم‌های داسیتی از نوع پارگازیت و اولیه است (شکل ۲، ب).

بنابراین رده بندی، همه آمفیبیول‌های تجزیه شده جزء گروه آمفیبیول‌های کلسیک (جز نمونه آنتوفیلیت که حاصل تجزیه اورتوبیروکسن است که در گروه اول قرار می‌گیرد) هستند که شاخص توده‌های نوع I هستند [۸] و چنانکه در شکل ۳ دیده می‌شود همه آن‌ها در زیر گروه منیزیوهرنبلنده و تا حدودی اکتینولیت قرار می‌گیرند.

آمفیبیول‌های پارگازیتی با رنگ قهوه‌ای و به صورت فنوکریست، از جمله کانی‌های شاخص برونبوم‌های داسیتی واقع در سنگ‌های نیمه آتش فشانی منطقه است که همراه با دو نوع پلازیوکلاز یکی با $An = 30$ در زمینه و دیگری با $An = 86-92$ به صورت فنوکریست دیده می‌شود. شواهد بافتی نظیر خود شکل بودن فنوکریست‌های پارگازیت در زمینه ریز دانه نشان می‌دهد که پارگازیت در برونبوم‌های داسیتی اولین فازی است که متبلور شده است [۶]. پارگازیت از کانی‌های شاخص سنگ‌های آندزیتی و داسیتی است که حضور آن در سنگ‌های آتش‌نشانی توسط پژوهشگران مختلفی به اختلاط میان مagmaهای بازالتی و ریوداسیتی نسبت داده می‌شود [۹، ۱۰].

در مورد شرایط تشکیل اورتوبیروکسن در سنگ‌های گرانیتی و گرانودیوریتی باید گفت که در دمای حدود ۸۵۰ درجه سانتی‌گراد و میزان آب کمتر از ۳/۵Wt% اورتوبیروکسن تنها فاز فرومینیزین پایدار است ولی چنانچه دما به زیر ۸۵۰ درجه سانتی‌گراد و میزان آب به ۳/۵Wt% برسد آمفیبیول جایگزین اورتوبیروکسن می‌شود [۱۱، ۱۲].

تا گرانودیوریت تغییر می‌کند. کانی‌های اصلی این سنگ‌ها شامل پلازیوکلاز، بیوتیت، آمفیبیول و به مقدار کمتر پتاسیم فلدسپار و کوارتزند. آپاتیت و زیرکن بیشتر کانی‌های فرعی این سنگ‌ها را می‌سازند.

۴-۳- سنگ‌های نیمه آتش‌نشانی ریوداسیتی

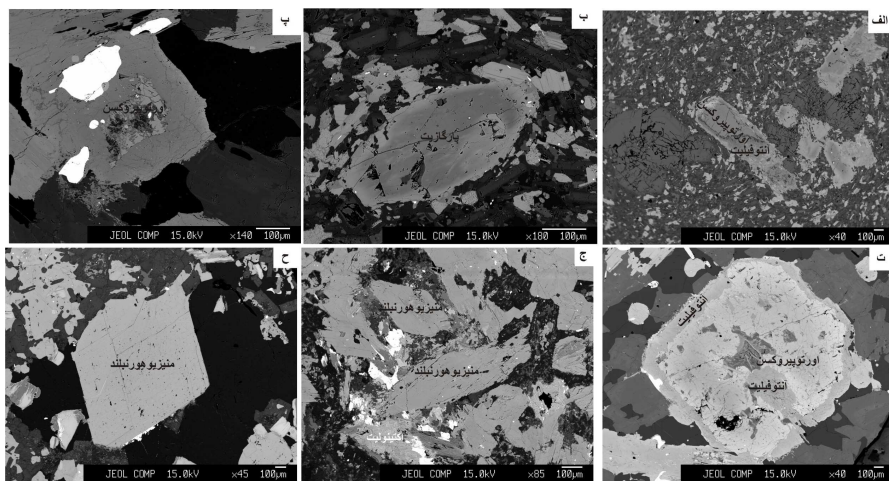
این سنگ‌ها به صورت زائدۀ مستقل و بسیار کوچک درون واحد گرانودیوریت قرار دارند (شکل ۱). سنگ‌های یاد شده ریز دانه و به رنگ روشن‌اند. کانی‌های اصلی تشکیل دهنده شامل پلازیوکلاز، کوارتز، پتاسیم فلدسپار و بیوتیت‌اند و از کانی‌های فرعی آن‌ها می‌توان به زیرکن و آپاتیت اشاره کرد که به صورت نفوذی در درون کانی‌های دیگر دیده می‌شوند.

۴-۴- برونبوم‌ها

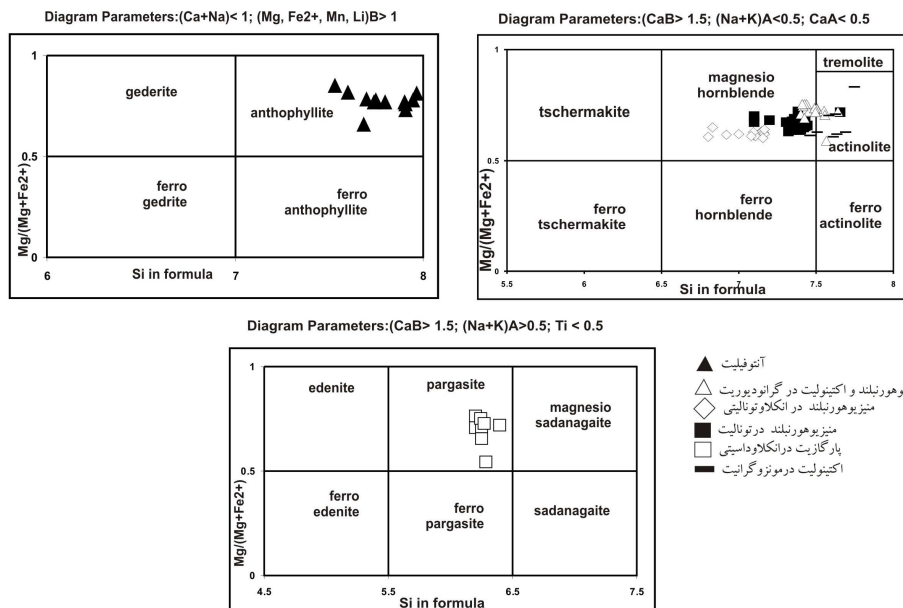
توده گرانیت‌وئیدی آستانه دارای برونبوم‌های متنوعی است به طوری که برونبوم‌های واقع در گرانودیوریت‌ها ترکیب گابرو، دیوریت، کوارتزدیوریت تا تونالیت-گرانودیوریت و برونبوم‌های واقع در ریوداسیت‌ها ترکیب داسیتی دارند. برونبوم‌ها بیشتر در فازهای مافیک‌تر و بخصوص در بخش‌های حاشیه‌ای مشاهده می‌شوند و اندازه آن‌ها از چند سانتی‌متر تا چند دسی‌متر متغیر است و شکل آن‌ها از حالت تقریباً زاویه‌دار تا کاملاً گردشده تغییر می‌کند ولی به طور کلی شکل‌های تقریباً بیضوی غالباً دارند. همه برونبوم‌های منطقه مورد مطالعه از جنس ریز دانه‌ای مافیک هستند. برونبوم‌های داسیتی معمولاً بافت ساب افیتیک دارند و مجموعه کانی‌های آن‌ها آمفیبیول، پلازیوکلاز، بیوتیت، ارتکلاز و کوارتز است [۶].

۵- شیمی کانی آمفیبیول در واحدهای سنگی مختلف توده

آمفیبیول در واحدهای سنگی آستانه با رنگ‌های متنوعی نمایان می‌شوند که نشانگر ترکیب شیمیایی متفاوت آن‌ها در انواع سنگ‌هاست. در گرانودیوریت‌ها و مونزوگرانیت‌ها به صورت نیمه شکل دار به رنگ قهوه‌ای تا زرد دیده می‌شوند. در یک نمونه از سنگ‌های تونالیتی در حاشیه اورتوبیروکسن هاله‌ای از اورتومافیبیول مشاهده می‌شود (شکل ۲ الف و ت). در سنگ‌های کوارتزدیوریتی، آمفیبیول به صورت شکل دار با چند رنگی سبز تا آبی است. همچنین در برونبوم‌های داسیتی به صورت شکل دار به رنگ سبز در زیر میکروسکوپ دیده می‌شود. نتایج



شکل ۲ تصاویری از آمفیبول‌ها در سنگ‌های مختلف منطقه آستانه. الف: آنتوفیلیت در حاشیه ارتوپیروکسن انسستاتیت در برونبوم داسیتی. ب و پ: پارگازیت در برونبوم داسیتی. ت، ارتوپیروکسن و آنتوفیلیت در تونالیت آستانه. ج: منیزیو هورنبلند در تونالیت. ح: منیزیو هورنبلند در برونبوم تونالیتی.



شکل ۳ تقسیم‌بندی انواع آمفیبول در منطقه آستانه بر اساس روش لیک [۵].

گیرند (شکل ۴) که نشان می‌دهند توده گرانیت‌ئیدی آستانه در ارتباط با مرز ورقه‌های همگرا تشکیل شده است [۱۴، ۱۳]. همچنین حضور مگنتیت در این سنگ‌ها دلالت بر سری مگنتیتی یا I بودن این گرانیتها دارد [۱۵].

۲-۵ ژئوتربمبارومتری آمفیبول
آمفیبول بهترین کانی برای دما-فشارسنجی در سنگ‌های آذرین آهکی-قليایی است، زیرا تقریباً در همه توده‌های نفوذی آهکی-قليایی اسیدی و حدواتسط، صرف نظر از ترکیبات بازیک، متبلور می‌شود. همچنین این کانی در گستره گستردگی

۱-۵ فوگاسیته اکسیژن
فوگاسیته اکسیژن از جمله فاکتورهایی است که مجموعه کانی‌های سنگ را تحت تأثیر قرار می‌دهد. یکی از روش‌های ارزیابی فوگاسیته اکسیژن در سنگ‌های نفوذی، بررسی ترکیب آمفیبول‌هایی است که از نظر شیمیایی دارای $\text{Al}^{\text{tot}}/\text{Fe}^{\text{tot}} + \text{Mg} > 0.75$ و $\text{Al}^{\text{IV}} > 0.3$ هستند [۱۳]. از میان آمفیبول‌های تجزیه شده منطقه، پارگازیت و منیزیو هورنبلندهای تونالیت این شرایط را دارا هستند. در نمودار $\text{Al}^{\text{IV}}/\text{Fe}^{\text{tot}} + \text{Mg}$ پارگازیت و منیزیو هورنبلند در گستره با فوگاسیته بالای اکسیژن قرار می-

در سنگ‌های تونالیتی و گرانودیوریتی با فشار کمتر از ۲ کیلوبار تأثیر دما روی Al^{tot} به قدری زیاد است که مستقل از فشار عمل می‌کند، لذا برای محاسبه فشار تشکیل آمفیبول در سنگ‌های گرانیتی منطقه آستانه از جدیدترین فشارسنجی که خطای اندازه گیری کمتر و در فشارهای کمتر از ۲ کیلوبار نیز قابل کاربرد است، یعنی روش فشارسنجی اشمیت (۱۹۹۲) به صورت زیر استفاده شده است [۱۶]:

$$P = 4/76 Al^{tot} - 3/0 \quad (\pm 0.6 \text{ Kbar})$$

در این روش آمفیبول پارگازیتی برونبوم‌های داسیتی فشار کوارتزدیوریتی $6/58 \pm 0.6 \text{ Kbar}$ ، آمفیبول منیزیوهوربنلند برونبوم کوارتزدیوریتی $2/75 \pm 0.6 \text{ Kbar}$ و آمفیبول منیزیوهوربنلند تونالیت فشار $6/37 \pm 0.6 \text{ Kbar}$ را نشان می‌دهند.

از طرف دیگر با توجه به نمودار شکل ۵ الف که بر اساس مقادیر Al^{tot} نسبت به $Fe/Fe + Mg$ ترسیم شده است [۱۶] می‌توان گستره فشار ۶۵-۷ کیلوبار را برای پارگازیت در برونبوم داسیتی، ۲۵-۳ کیلوبار را برای منیزیوهوربنلند در برونبوم کوارتزدیوریتی و ۰.۹-۱.۵ کیلوبار را برای منیزیوهوربنلند در تونالیت برآورد کرد. وجود بافت گرانوفیری و پورفیروئیدی در مقاطع میکروسکوپی سنگ‌های تونالیت نیز فشار کمتر از ۲ کیلوبار را برای این سنگ‌ها تأیید می‌کند.

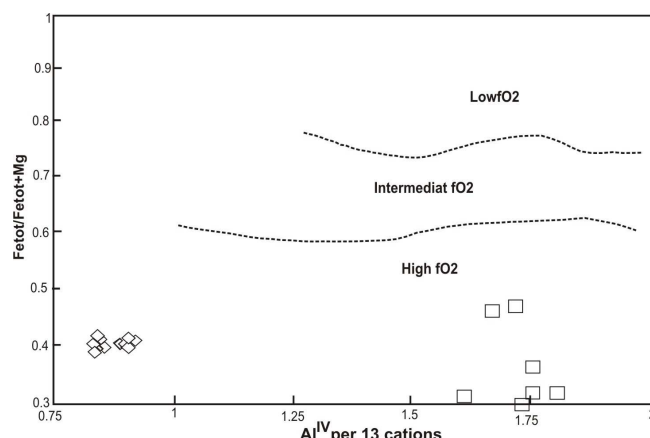
برای محاسبه دمای تقریبی سه واحد سنگی یاد شده نیز با استفاده از نمودار شکل ۵، ب که بر اساس مقادیر فشار (کیلوبار) نسبت به Al^{tot} رسم شده است [۲۰، ۱۶] می‌توان گستره دمایی بین 750°C - 800°C برای پارگازیت در برونبوم داسیتی، 760°C - 730°C برای برونبوم کوارتزدیوریتی و 700°C - 750°C را برای تونالیت برآورد کرد.

ای از فشار- دما از ۱ تا 23 Kbar و ۴۰۰ تا 1150 درجه سانتی‌گراد پایدار است [۷، ۸].

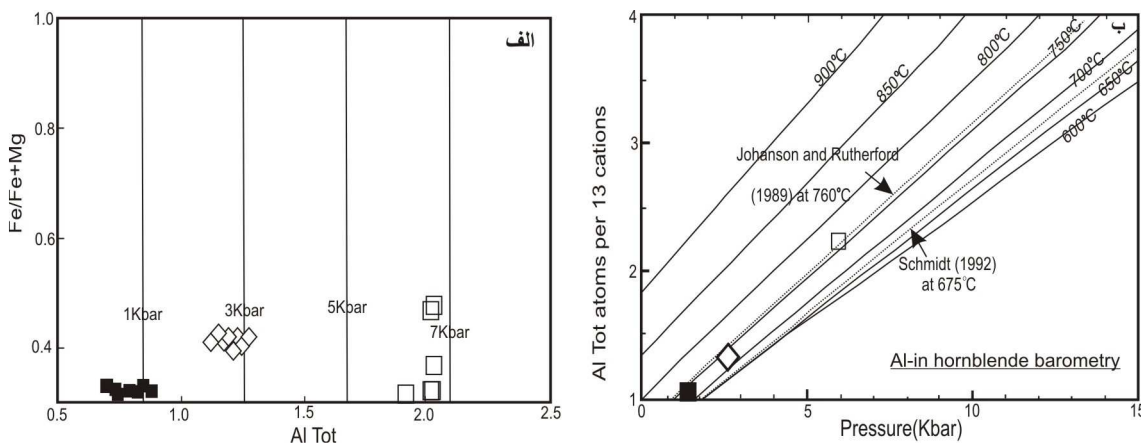
روش‌های تعیین عمق (فشار) یک توده نفوذی بر اساس میزان Al در آمفیبول است. ژئوبارومترهای Al در آمفیبول برای مجموعه کوارتز- قلیابی فلدسپار- پلاژیوکلاز- بیوتیت- تیتانیت- مگنتیت یا ایلمنیت کاربرد دارد که با توجه به اینکه مگنتیت و مجموعه بالا در گرانیت‌های آستانه معمول است لذا می‌توان با استفاده از مقدار Al در آمفیبول، فشار تبلور آمفیبول را محاسبه کرد.

هورنبلند در دماهای نزدیک به مرز انجماد علاوه بر کانی- های یاد شده با مذاب و فاز شاری به تعادل می‌رسد، به دنبال انجماد و سردایش ماقما تعادل هورنبلند با کانی‌های یاد شده نقصان می‌یابد تا در نهایت ماقما کاملاً متبلور شود. بنابراین ترکیب هورنبلند، فشار (عمق تبلور) انجماد ماقما را بازتاب می‌دهد [۱۷، ۱۶]. در اینجا فشار تبلور آمفیبول پارگازیت در برونبوم‌های داسیتی، منیزیوهوربنلند در برونبوم- های کوارتزدیوریتی و در سنگ‌های تونالیتی محاسبه شده است.

تاکنون روش‌های متعددی برای برآورد فشار از روی ترکیب هورنبلند ارائه شده‌اند [۲۲ تا $18, 13, 16$]. در همه این روش‌ها (جز روش آندرسون و اشمیت [۱۳]) فشار فقط از روی میزان آلومینیم موجود در هورنبلند و بدون توجه به پارامترهای دیگری چون دما محاسبه می‌شود. بیشتر فشارسنجی‌های یاد شده در فشارهای بالا کاربرد دارند و به دلیل فشار پایین سنگ- های توده نفوذی منطقه (تونالیت‌ها) مقادیر به دست آمده گاهی کمتر (و حتی منفی) از میزان خطای فرمول فشارسنجی است که با فشار منطقه سازگاری ندارد. [۱۹] معتقد است که



شکل ۴ Al^{IV} نسبت به $Fe^{tot}/Fe^{tot}+Mg$ نشان می‌دهد که پارگازیت و منیزیوهوربنلند در فوگاسیته بالای اکسیژن تشکیل می‌شوند [۱۳]. علائم مشابه شکل ۳ هستند.



شکل ۵ الف : نسبت Al^{tot} به $\text{Fe}/\text{Fe} + \text{Mg}$ نشان می‌دهد که پارگازیت در گستره فشار بین ۷-۶، منیزیوهرونیبلند در برونبوم کوارتزدیوریتی-تونالیتی فشاری بین ۲-۳ و منیزیوهرونیبلند در گستره فشار نزدیک به یک کیلوبار واقع می‌شود. ب: فشار بر اساس کیلوبار نسبت به Al^{tot} نشانگر تبلور پارگازیت در برونبوم داسیتی بین ۸۰۰-۷۵۰، منیزیوهرونیبلند برونبوم تونالیتی ۷۶۰-۷۳۰ و منیزیوهرونیبلند تونالیت ۷۵۰-۷۰۰ در جه سانتی، گراد است. علائم مشابه شکل ۳ هستند.

هولاند و بلاندی [۲۴] دماسنچ دیگری را بر اساس این زوج کانی ارائه کرده‌اند که در سنگ‌های آذرین و دگرگون کوارتزدار و بدون کوارتز کاربرد دارد. این دماسنچ بر پایه زیر طراحی شده است:

$$T_{\text{[}\pm 313\text{]}} = \{ 78.44 + Y_{\text{ab-an}} - 33.6 X_{\text{Na}}^{\text{M}4} - (66.8 - 2.92P \text{ [kbar]}) X_{\text{Al}}^{\text{M}2} + 78.5 X_{\text{Al}}^{\text{T}1} + 9.4 X_{\text{Na}}^{\text{A}} \} / 0.0721 - RL_n [(27 X_{\text{Na}}^{\text{M}4} X_{\text{Si}}^{\text{T}1} X_{\text{An}}^{\text{plg}}) / (64 X_{\text{Ca}}^{\text{M}4} X_{\text{Al}}^{\text{T}1} X_{\text{Ab}}^{\text{plg}})]$$

پارامترهای استفاده شده در همسنجی بالا شامل موارد زیراست:

$$X_{Si}^{T1} = (Si - 4) / 4$$

$$X_{Al}^{T1} = (8 - Si) / 4$$

$$X_{Al}^{M2} = (Al + Si - 8) / 2$$

$$X_K^A = K$$

$$X_{\text{vac}}^{\text{A}} = 3 - \text{Ca} - \text{Na} - \text{K} - \text{Cm}$$

$$X_{Na}^A = Ca + Na + Cm - 2$$

$$X_{\text{Na}} = (2 - \text{Ca} - \text{Cm}) / 2$$

$$X_{\text{Ca}} = \text{Ca} / 2$$

$$R = 0.0083144 \text{ (kJ/(K mol))}$$

$$R = 0.0083144 \text{ (kJ / k mol)}$$

در این رابطه، T دمای تعادلی بر حسب کلوین و P شار بر اساس کیلوبار است. Mg, Fe, Al, Si, Mn معرف تعداد کاتیون‌ها در فرمول ساختاری آمفیبول‌ها هستند. مقدار Y_{Ab-An} فرمول را از Al_2O_3 حذف نموده دسته می‌آورد.

$$X_{Ab} > 0.5, Y_{Ab_An} = 3KJ \quad X_{Ab} < 0.5, Y_{Ab_An} = 12(2X_{Ab} - 1) + 3 KJ$$

۳-۵- هورنبلند- پلازیوکلاز- دماسنجی در مورد دماسنجی به روش زوج هورنبلند- پلازیوکلاز اتفاق نظر بین پژوهشگران وجود ندارد، ولی یکی از روش‌های متدائل برای دماسنجی سنگ‌های آهکی- قلیایی محسوب می‌شود.

بلاندی و هولاند [۲۳] بر اساس واکنش آدنیت- ترمولیت، رابطه زیر را برای دماسنجی پلازیوکلاز- هورنبلند پیشنهاد کرده‌اند. این دماسنج در سنگ‌های آذرین فلزیک و حدواسطی کرده‌اند. این دماسنج در سنگ‌های آذرین فلزیک و حدواسطی که حاوی کوارتز، پلازیوکلاز با $\text{An}_{0.92}$ و $\text{Si}_{7.8}$ کاربرد دارد و برای دماهای بین ۵۰۰-۱۱۰۰ تا ۱۴۰۰ درجه سانتی گراد قابل استفاده است.

$$T \text{ [±311° K]} = 0.677 P \text{ [Kbar]} - 48.98 + Y_{Ab}/$$

در این رابطه T دمای تعادلی بر حسب کلوین، P فشار بر حسب کیلوبار، Si تعداد کاتیون‌های سیلیس در فرمول ساختاری آمفیبیو، X_{Ab}^{plag} میزان درصد آلبیت در پلاژیوکلاز

است. مقدار Y_{Ab} از روابط زیر به دست می‌اید.

- $X_{Ab} > 0.5, \quad Y_{Ab} = 0$
- $X_{Ab} < 0.5, \quad Y_{Ab} = 8.06 + 25.5(1 - X_{Ab})^2$

در این دماسنجی برای پارگازیت در برونبوم داسیتی دمای 76°C ، منیزیوهورنبلند در برونبوم کوارتزدیوریتی 738°C و در تونالیت‌های توده آستانه 706°C برآورد می‌شود.

تونالیت‌های منطقه ۱۴ کیلوبار، برونبوم داسیتی ۶۶ کیلوبار و برونبوم کوارتزدیوریتی ۲۸ کیلوبار است. فشار بالاتر آمفیبول‌های موجود در برونبوم داسیتی نشان می‌دهد که آمفیبول‌ها در عمق زیاد متبلور شده و بدون تغییر شیمیایی زیاد تا سطح بالاتر رسیده‌اند و سرانجام همراه با ماقمای موجود در سنگ داسیتی متبلور شده‌اند. فشار سنگی تونالیت و کوارتزدیوریت عمق تبلور را ۵-۸ Km برای این سنگ‌ها نشان می‌دهد که با شواهد سنگ‌شناختی مانند داشتن بافت پورفیری نیز تأیید می‌شود. از این عمق می‌توان برای بررسی چگونگی صعود ماقما و جایگیری آن، ضخامت پوسته منطقه هنگام نفوذ توده آذرین و بررسی مدل‌های ژئودینامیکی استفاده کرد. دماسنجدی به روش پلازیوکلاز- هورنبلند هولاند و بلاندی [۲۴]، میانگین دمای تونالیت‌های توده نفوذی 70.8°C ، برونبوم داسیتی 76.7°C و برونبوم کوارتزدیوریتی 73.4°C را برآورد می‌کند که نزدیک و سازگار با روش وینهال [۲۵] است. مجموعه کانی‌های دگرگون مجاورتی منطقه نیز با دمای برآورد شده توده نفوذی سازگار است. وجود مجموعه کانی‌های متشکل از کرندوم، اسپینل و آنورتیت در حاشیه سنگ‌های نیمه آتشفسنای منطقه نیز نشان از رخساره با دما و فشار بالا می‌دهد که با دما و فشارسنجدی برونبوم‌های این منطقه تا حدود زیادی سازگاری دارد.

مراجع

- [1] Berthier F., Billiaul H.P., Halbroronn B., Marizot P., "Etude Stratigraphique, petrologique et structural de La région de khorramabad (Zagros, Iran)", Thèse De 3e cycle, Grenoble, (1974), 282p.
- [۲] رادفر، ج، "بررسی‌های زمین‌شناسی و پترولوزی سنگ‌های گرانیتوئیدی ناحیه آستانه- گوشه"، پایان‌نامه کارشناسی ارشد، دانشکده علوم، دانشگاه تهران (۱۳۶۶).
- [3] Masoudi F., "Contact metamorphism and pegmatite development in the region SW of Arak, Iran", (1997). Ph D Thesis, Leeds University, UK.
- [4] Ahmadi-Khalaji A., Esmaeily D., Valizadeh M.V., Rahimpour-Bonab H., "Petrology and Geochemistry of the Granitoid Complex of

دمای تعادلی تبلور کانی پارگازیت در برونبوم داسیتی بر اساس روش هولاند و بلاندی 76.7°C ، منیزیوهومنبلند در برونبوم کوارتزدیوریتی 73.4°C و منیزیو هومنبلند در تونالیت‌های آستانه 70.8°C برآورد می‌شود که به روش بلاندی و هولاند بسیار نزدیک است.

وینهال و همکاران نیز رابطه زیر را در فشارهای ۱-۲۰ کیلوبار و فوگاسیته HM-QFM برای تعیین دمای تعادل هورنبلندهای همزیست با پلازیوکلاز ارائه کرده‌اند [۲۵]:

$$T = 654.9 + 25.3P$$

بر اساس فرمول بالا دمای پارگازیت در برونبوم‌های داسیتی 82.0°C و منیزیوهومنبلند در برونبوم‌های کوارتزدیوریتی آستانه 72.4°C و منیزیوهومنبلند در سنگ‌های تونالیتی 69.0°C است که با داده‌های بلاندی و هولاند سازگار و نزدیک است. با توجه به بالا بودن فشار در داسیت‌های منطقه به نظر مرسد که پارگازیت همراه با پلازیوکلاز کلسیک به صورت فنوکریست از عمق زیاد ریشه گرفته و بدون تغییر شیمیایی به نزدیکی سطح زمین رسیده و سنگ‌های نیمه آتش فشانی منطقه را متبلور ساخته‌اند، ولی شواهد سنگ‌شناختی مانند بافت پورفیری سنگ‌ها وجود بافت‌های میرمکیتی و گرانوفیری حاکی از عمق نسبتاً کم توده آستانه (۸-۱۰ کیلومتر) است.

۶-بحث و برداشت

نتایج ریز پردازش آمفیبول‌های توده نفوذی و سنگ‌های نیمه آتشفسنای منطقه آستانه وجود چهار نوع آمفیبول پارگازیت، آنتوفیلیت، منیزیوهومنبلند و اکتینولیت را نشان می‌دهد. غالباً آمفیبول‌ها بر اساس رده بندی لیک [۷] درگروه آمفیبول‌های کلسیک قرار می‌گیرند. ویژگی بارز همه آن‌ها تشکیل در فوگاسیته بالای اکسیژن و سازگار با محیط‌های در ارتباط با مرز ورقه‌های همگرا و گرانیت‌های نوع I است. وجود پارگازیت به صورت فنوکریست‌های خود شکل همراه با پلازیوکلاز آنورتیت بالا دریک زمینه ریز دانه از پلازیوکلاز الیکوکلاز- آندزین برونبوم داسیتی نشانگر اختلاط ماقمای در سنگ‌های نیمه آتشفسنای منطقه است. با استناد به فشارسنجدی اشمیت [۱۶]، میانگین فشار حاکم بر توده نفوذی در زمان جایگزینی

- [12] Naney M. T., Swanson S., "The effect of Fe and Mg on crystallization in granitic systems", American Mineralogist 65(1980) 639-653.
- [13] Anderson J.L., Smith D.R., "The effects of temperature and fO_2 on the Al-in hornblende barometer", American Mineralogist 80(1995) 549-559.
- [14] Anderson J.L., "Proterozoic anorogenic granite plutonism of North America", Geological Society of America Memoir 161(1983) 133-152.
- [15] Ishihara S., "The magnetite-series and ilmenite-series granitic rocks", Mining Geology 27(1977) 293-305.
- [16] Schmidt M.W., "Amphibole composition in tonalite as a function of pressure: An experimental calibration of the Al-in-hornblende barometer", Contributions to Mineralogy and Petrology 110 (1992) 304-310.
- [17] Stone D., "Temperature and pressure variations in suites of Archean felsic plutonic rocks, Berens River area, Northwest Superior province, Ontario", Canada. Canadian Mineralogist 38 (2000) 455-470.
- [18] Hammarstrom J.M., Zen E-an, "Aluminum in hornblende: An empirical igneous geobarometer", American Mineralogist 71(1986) 1297-1313.
- [19] Hollister L.S., Grissom G.e., Peters E.K., Stowell H.H., Sisson V.R., "Confirmation of the empirical correlation of AI in hornblende with pressure of solidification of calc-alkaline plutons", American Mineralogist 72(1987) 231-239.
- [20] Johnson M.C., Rutherford M.J., "Experimental calibration of the aluminum-in-hornblende geobarometer with application to Long Valley Caldera (California) volcanic rocks", Geology 17(1989) 837-841.
- [21] Thomas W. M., Ernest W. G., "The aluminum content of hornblende in calc-alkaline granitic rocks: a mineralogic barometer calibrated experimentally to 12 Kbar. In: Spencer Rj. Chou IM (eds) Fluid mineral interactions: a tribute to HP Eugster", Geochemical Society Special Publication 2 (1990) 59-63.
- [22] Poli S., Schmidt M. W., "A comment on Calcic- amphibole- plagioclase equilibria and a new amphibole-plagioclase geothermometer by Blundy J. D., and Holland TJB", Contribution to Mineralogy and Petrology 111 (1992) 2773-282.
- Boroujerd, Sanandaj-Sirjan Zone, Western Iran", Journal of Asian Earth Sciences 29(2007) 859-877.*
- [5] Leake B.E., Woolley A.R., Arps C.E.S., Birch W.D., Gilbert M.C., Grice J.D., Hawthorne F.C., Kato A., Kisch H.J., Krivovichev V.G., Linthout K., Laird J., Mandarino J.A., Maresch W.V., Nickel E.H., Rock N.M.S., Schumacher J.C., Smith D.C., Stephenson N.C.N., Ungaretti L., Whittaker E.J.W., Youzhi G., "Nomenclature of amphiboles: report of the subcommittee on amphiboles of the International Mineralogical Association, Commission on new minerals and mineral names", European Journal of Mineralogy 9(1997) 623-651.
- [6] Tahmasbi Z., Castro A., Khalili M., Ahmadi-Khalaji A., "Petrography and geochemical characteristics of enclaves in the Astaneh pluton (Sanandaj-Sirjan Zone, Western Iran)", Journal of Applied Sciences 8 (2008) 4251-4262.
- [7] Leake B.E., Woolley A.R., Arps C.E.S., Birch W.D., Gilbert M.C., Grice J.D., Hawthorne F.C., Kato A., Kisch H.J., Krivovichev V.G., Linthout K., Laird J., Mandarino J.A., Maresch W.V., Nickel E.H., Rock N.M.S., Schumacher J.C., Smith D.C., Stephenson N.C.N., Ungaretti L., Whittaker E.J.W., Youzhi G., "Nomenclature of amphiboles: report of the subcommittee on amphiboles of the International Mineralogical Association, Commission on new minerals and mineral names", Canadian Mineralogist 35(1997) 219-246.
- [8] Stein E., Dietl C., "Hornblende thermobarometry of granitoids from the Central Odenwald (Germany) and their implications for the geotectonic development of Odenwald", Mineralogy and Petrology 72(2001) 185-207.
- [9] Heiken G., Eichelberger J. C., "Eruptions at Chaos Crags, Lassen Volcanic National Park", Journal of Volcanology and Geothermal Research 7(1980) 443-481.
- [10] Nakada S., "Magmatic processes in titanite-bearing dacites, central Andes of Chile and Bolivia", American Mineralogist 76(1991) 548-560.
- [11] Naney M. T., "Phase equilibria of rock-forming ferromagnesian silicates in granitic systems", American Journal of Science 283 (1983) 993-1033.

- Contributions to Mineralogy and Petrology 116 (1994) 433–447.
- [25] Vynhal C. R., McSween H. Y. Jr., "Hornblende chemistry in southern Appalachian granitoids Implications for aluminous hornblende thermobarometry and magmatic epidote stability", American Mineralogist 76 (1991) 176-188.
- [23] Blundy J.D., Holland T.J.B., "Calcic amphibole equilibria and a new amphibole–plagioclase thermometer", Contributions to Mineralogy and Petrology 104 (1990) 208–224.
- [24] Holland T., Blundy J., "Non-ideal interactions in calcic amphiboles and their bearing on amphibole – plagioclase thermometry",